

## 组态混合对三轴超形变带的影响\*

邢正<sup>1,2</sup> 王子兴<sup>2</sup> 陈星藻<sup>1,2</sup> 徐进章<sup>1</sup>

1 (兰州大学现代物理系 兰州 730000)

2 (中国科学院上海原子核研究所 上海 201800)

**摘要** 考虑了不同 $j$ 壳之间的组态混合,用粒子-转子模型研究了三轴超形变带.为了确认三轴超形变,应同时拟合能谱和跃迁几率的实验数据.

**关键词** 原子核结构 超形变 三轴形变 组态混合

### 1 引言

对重稀土区奇 $Z$ 核正常形变 $\pi[660\ 1/2]$ 带已进行了广泛而深入的研究.然而文献[1—3]对<sup>163</sup>, <sup>165</sup>, <sup>167</sup>Lu观测到一条奇异的 $\pi[660\ 1/2]$ 带,通过总位能面(TES或TRS)的计算,文献[2,3]把它们解释为三轴超形变带.要肯定这些带为三轴超形变带,除了进行TES或TRS计算,确认在大的四极形变和大的三轴形变时存在能量极小,同时至少要拟合两方面的实验数据,即能谱数据和跃迁几率的数据.从高自旋态的理论研究<sup>[4]</sup>,人们已确信只靠能谱是不能肯定存在三轴形变的.到目前为止,只有对<sup>163</sup>Lu测量了 $[660\ 1/2]$ 带的电四极跃迁几率<sup>[5]</sup>,利用液滴模型的轴对称形变公式,估计四极矩为10.7b,表明此时四极形变 $\epsilon_2 \approx 0.4$ ,但是并没有证实存在三轴形变.文献[2]用推转模型计算了<sup>163</sup>, <sup>165</sup>Lu  $\pi[660\ 1/2]$ 带的能谱,并与实验进行了比较,但是由于推转模型固有的缺点,文献[2]不能计算跃迁几率,因此对三轴超形变带的指定远未确认,迄今能谱的计算只有一例<sup>[2]</sup>,而跃迁几率的计算尚未涉及.我们曾用单 $j$ 壳的粒子-转子模型研究了Lu同位素的三轴超形变带<sup>[6]</sup>,同时计算了能谱和跃迁几率,并与实验值进行了比较.但是由于自由参数过多,没有考虑不同 $j$ 壳之间的组态混合,要确认存在三轴超形变带仍然显得证据不足.本文进一步考虑不同 $j$ 壳之间混合,分析组态混合对能谱和跃迁几率的影响.奇核子填充费米面附近不同的Nilsson轨道,不同 $j$ 壳之间的组态混合是通过单粒子Nilsson态自动进行的.计算中只有形变参数( $\epsilon_2, \epsilon_4, \gamma$ )是自由参数,它的选取应使能谱和跃迁几率尽可能地同时符合实验值.这里以<sup>167</sup>Lu为例进行分析,同时也给出了<sup>163</sup>, <sup>165</sup>Lu的计算结果.

1997-11-17收稿

\* 国家自然科学基金(19575025)和核工业科学基金(Y7197AY103)资助

联系人:徐进章

## 2 模型

假设奇质子和三轴形变的转动核心相耦合, 系统哈密顿量为<sup>[7]</sup>

$$H = H_{\text{sp}} + H_{\text{rot}} + H_{\text{pair}}, \quad (1)$$

其中  $H_{\text{sp}}$ ,  $H_{\text{rot}}$  和  $H_{\text{pair}}$  分别为单粒子哈密顿量<sup>[8]</sup>, 三轴转子哈密顿量和对相互作用.

(1) 式利用基底  $|IMK\nu\rangle$  对角化,

$$|IMK\nu\rangle = \sqrt{\frac{2I+1}{16\pi^2}} \sum_{Nlj\Omega} C_{nlj\Omega}^{(\nu)} (D_{MK}^l |Nlj\Omega\rangle + (-)^{l-j} D_{M-K}^l |Nj-\Omega\rangle), \quad (2)$$

其中系数  $C_{nlj\Omega}^{(\nu)}$  由解单粒子哈密顿量得到.

$$H_{\text{sp}}\chi_\nu = \varepsilon_{\text{sp}}^{(\nu)} \chi_\nu, \quad (3)$$

$$\chi_\nu = \sum_{Nlj\Omega} C_{nlj\Omega}^{(\nu)} |Nlj\Omega\rangle, \quad (4)$$

$\nu$  是 Nilsson 能级图上的序数, 表示不同的 Nilsson 态. 总的波函数为

$$|IM\rangle = \sum_{K\nu} a_K^{I\nu} |IMK\nu\rangle, \quad (5)$$

这里  $a_K^{I\nu}$  是带混合系数. 由于三轴形变  $\gamma \neq 0$ ,  $K \neq \Omega$ ,  $K$  不是好量子数, 我们用  $\bar{K}$  表示总波函数的最大分量的  $K$  值, 通常用  $|\bar{K}\nu\rangle$  对转动带进行分类<sup>[9]</sup>. 对作用由标准 BCS 方法引入, 则单粒子矩阵元乘以相应对因子  $uu' + vv'$ , Coriolis 衰减因子  $\xi$  乘以单粒子非对角矩阵元.

计算中 Nilsson 参数  $\kappa$ ,  $\mu$  取标准值<sup>[8]</sup>, 对力强度  $G$  按文献 [2] 取标准值的 80%,  $\xi$  取 0.9, 费米能  $\lambda$  和能隙参数  $\Delta$  不是可调参数, 由计算给出. 而形变参数  $\varepsilon_2$ ,  $\varepsilon_4$ ,  $\gamma$  的选取尽可能使能谱和跃迁几率符合实验值.

## 3 结果和讨论

为了研究不同的质子轨道对能谱和跃迁几率的影响, 图 1 给出了形变参数  $\varepsilon_2 = 0.360$ ,  $\varepsilon_4 = 0.035$ , 质子单粒子能级随三轴形变参数  $\gamma$  的变化. 表 1 给出了形变参数  $\varepsilon_2 = 0.360$ ,  $\varepsilon_4 = 0.035$ ,  $\gamma = 15^\circ$  时不同的质子正宇称单粒子波函数, 波函数按其在单粒子能级图上的次序用基底  $|Nlj\Omega\rangle$  展开 (表中仅列出主要成份, 系数大于 0.1 的分量). 由表可见, 对第 18, 第 19, …, 第 22 正宇称单粒子轨道, 其主要成份分别为  $[411\ 1/2]$  (占 36%),  $[660\ 1/2]$  (占 57%),  $[404\ 7/2]$  (占 79%),  $[402\ 5/2]$  (占 68%) 和  $[651\ 3/2]$  (占 57%). 因此当奇核子主要填充第 19 条轨道时, 且  $\bar{K} = 1/2$  (即  $|\bar{K}\nu\rangle = |1/2\ 19\rangle$ ) 的转动带, 称为  $[660\ 1/2]$  带.

表 1 形变参数  $\epsilon_2 = 0.360$ ,  $\epsilon_4 = 0.035$ ,  $\gamma = 15^\circ$  5 个质子正宇称态单粒子波函数

|                |                               |                               |                               |
|----------------|-------------------------------|-------------------------------|-------------------------------|
| $ 18\rangle =$ | $-0.270  1g_{7/2}5/2\rangle$  | $+0.160  1g_{9/2}1/2\rangle$  | $+0.395  1g_{7/2}1/2\rangle$  |
|                | $-0.413  2d_{5/2}1/2\rangle$  | $-0.603  2d_{3/2}1/2\rangle$  | $+0.253  3s_{1/2}1/2\rangle$  |
|                | $-0.116  1g_{9/2}3/2\rangle$  | $-0.150  1g_{7/2}3/2\rangle$  | $+0.310  2d_{5/2}3/2\rangle$  |
| $ 19\rangle =$ | $+0.225  1i_{13/2}5/2\rangle$ | $+0.756  1i_{13/2}1/2\rangle$ | $+0.299  2g_{9/2}1/2\rangle$  |
|                | $+0.474  1i_{13/2}3/2\rangle$ | $+0.165  2g_{9/2}3/2\rangle$  |                               |
| $ 20\rangle =$ | $-0.188  2d_{5/2}5/2\rangle$  | $+0.143  3s_{1/2}1/2\rangle$  | $+0.319  2d_{3/2}3/2\rangle$  |
|                | $+0.122  1g_{9/2}7/2\rangle$  | $-0.889  1g_{7/2}7/2\rangle$  |                               |
| $ 21\rangle =$ | $-0.168  1g_{9/2}9/2\rangle$  | $+0.156  1g_{9/2}5/2\rangle$  | $-0.185  1g_{7/2}5/2\rangle$  |
|                | $-0.822  2d_{5/2}5/2\rangle$  | $-0.101  2d_{5/2}1/2\rangle$  | $+0.194  2d_{3/2}1/2\rangle$  |
|                | $+0.298  3s_{1/2}1/2\rangle$  | $+0.288  1g_{7/2}7/2\rangle$  |                               |
| $ 22\rangle =$ | $-0.283  1i_{13/2}5/2\rangle$ | $-0.387  1i_{13/2}1/2\rangle$ | $-0.190  2g_{9/2}1/2\rangle$  |
|                | $+0.754  1i_{13/2}3/2\rangle$ | $+0.306  2g_{9/2}3/2\rangle$  | $+0.177  1i_{13/2}7/2\rangle$ |

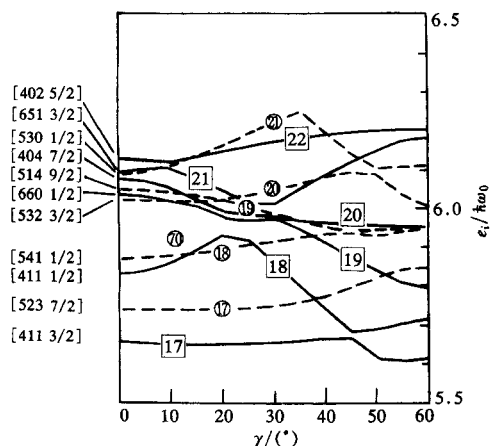


图 1 在  $Z = 70$  附近,形变参数  $\epsilon_2 = 0.360$ ,  $\epsilon_4 = 0.035$ ,  $0^\circ \leq \gamma \leq 60^\circ$  的 Nilsson 势的单粒子能级正宇称和负宇称轨道分别用实线和虚线表示,每一能级用其在能级图上的次序标出,在图的左侧,用  $\gamma = 0^\circ$  (轴对称)时波函数主要组份的 Nilsson 量子数对状态进行分类。

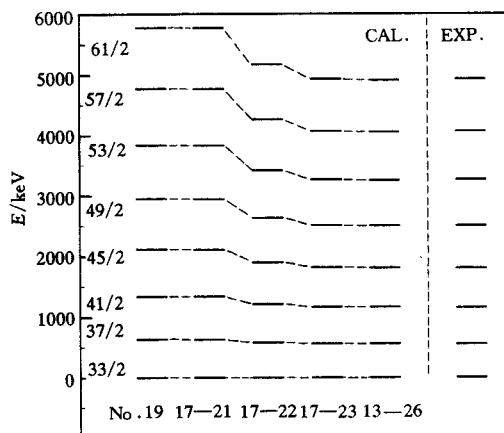


图 2  $^{167}\text{Lu}$   $\pi[660\ 1/2]$  带能量理论值和实验值比较

使用形变参数:  $\epsilon_2 = 0.360$ ,  $\epsilon_4 = 0.035$ ,  $\gamma = 15^\circ$ , No.19, 17—21, 17—22, ……表示理论计算分别考虑第 19 条, 第 17—21 条, 第 17—22 条, ……轨道和核心的耦合。

为了研究不同的质子轨道对  $^{167}\text{Lu}[660\ 1/2]$  带的影响, 计算中, 在同一组模型参数下, 分别考虑不同数目的质子轨道和核心的耦合。图 2 给出了计算结果并与实验值进行了比较。由图可见, 随着和核心耦合的轨道增多, 理论值趋向实验值, 计算是收敛的。其中对  $[660\ 1/2]$  带影响最大的轨道为第 22 条和第 23 条轨道, 且随着自旋值的增加影响加大。它们的主要成份分别为  $[651\ 3/2]$  和  $[642\ 5/2]$ , 与  $[660\ 1/2]$  同属  $1i_{13/2}$  子壳。由于 Coriolis 相互作用,  $-2I \cdot j$  引起单粒子运动和集体运动的耦合, 对于一定  $I$ , 高  $j$  低  $\Omega$  轨道耦合最强, 而对一定单粒子轨道, 随着  $I$  的增大耦合增强<sup>[7]</sup>, 因此对  $[600\ 1/2]$  带主要应

考虑  $i_{13/2}$  子壳内不同轨道的混合. 但是由于形变, 第 22、第 23 条轨道波函数还含有  $2g_{9/2}, 2d_{5/2}$  等子壳的成份, 此外其它轨道如第 18、第 20 条轨道也有一定的填充几率(如对  $^{167}\text{Lu}[660\ 1/2]$  带约占 1%—2%), 它们对能谱及跃迁几率没有明显影响, 但对动力学转动惯量会造成较大的改变, 因此考虑不同子壳的混合是必要的. 利用同样参数, 表 2 给出了  $^{167}\text{Lu}\ \pi[660\ 1/2]$  带约化电四极跃迁几率  $B(E2; I \rightarrow I-2)$  ( $e^2b^2$ ) 的理论值, 计算涉及不同数目的单粒子轨道与核心的耦合, 对  $B(E2)$  值的影响, 主要也来自第 22 条和第 23 条轨道, 它们使  $B(E2)$  的平均值分别增加  $0.21e^2b^2$  和  $0.05e^2b^2$ .

表 2  $^{167}\text{Lu}\ \pi[660\ 1/2]$  带  $B(E2; I \rightarrow I-2)$  理论值 ( $e^2b^2$ )

| $2I$ | No.19 | No.17—21 | No.17—22 | No.17—23 | No.13—26 |
|------|-------|----------|----------|----------|----------|
| 37   | 4.03  | 4.03     | 4.15     | 4.17     | 4.17     |
| 41   | 4.12  | 4.12     | 4.31     | 4.36     | 4.36     |
| 45   | 4.25  | 4.25     | 4.51     | 4.58     | 4.58     |
| 49   | 4.40  | 4.40     | 4.69     | 4.75     | 4.75     |
| 53   | 4.57  | 4.57     | 4.82     | 4.87     | 4.87     |
| 57   | 4.71  | 4.71     | 4.91     | 4.95     | 4.95     |
| 61   | 4.82  | 4.82     | 4.97     | 5.01     | 5.00     |

图 3 给出了 Lu 三个同位素的  $\pi[660\ 1/2]$  带能谱的理论值和实验值的比较, 计算中涉及 14 条轨道 (No.13—26) 和核心的耦合. 在选择形变参数下, 能谱的理论值较好地符合实验值. 值得注意的是, 理论计算得到了  $\pi[660\ 1/2]$  带的 Signature 伙伴带, 其能量大抵比  $\pi[660\ 1/2]$  带 (Signature 优先带) 高 500keV, 例如对  $^{167}\text{Lu}\ I = 35/2$  态能量比  $I = 33/2$  态高 478keV, 因而非优先带 (u 带) 在实验中难以观测到.

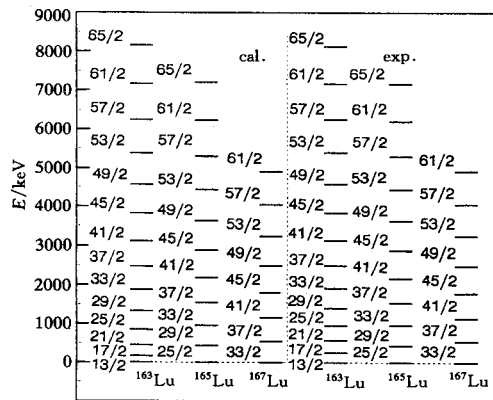


图 3  $^{163}\text{Lu}, ^{165}\text{Lu}$  和  $^{167}\text{Lu}\ \pi[660\ 1/2]$  带能量理论值和实验值的比较

使用形变参数:  $(\epsilon_2, \epsilon_4, \gamma)$  对  $^{163}\text{Lu}, ^{165}\text{Lu}$  和  $^{167}\text{Lu}$  分别为  $(0.390, 0.035, 18^\circ), (0.389, 0.035, 15^\circ)$  和  $(0.360, 0.035, 15^\circ)$ .

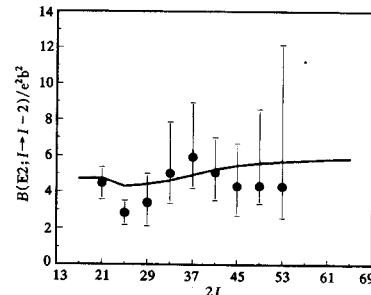


图 4  $^{163}\text{Lu}\ \pi[660\ 1/2]$  带的约化电四极跃迁几率理论值和实验值的比较

使用参数同图 3.  
圆点为实验值.

图 4 给出了  $^{163}\text{Lu}\ \pi[660\ 1/2]$  带的约化电四极跃迁几率, 在实验误差范围内理论值较好地符合实验值.

## 4 简短小结

利用粒子-转子模型,考虑到不同  $j$  壳之间的组态混合,研究了三轴超形变带,由能谱和跃迁几率的理论值和实验数据较好地符合(对<sup>165, 167</sup>Lu 还缺少跃迁几率的实验值)可以得到下述结论:

(1) 对 $\pi[660\ 1/2]$ 带组态混合的影响主要来自同一子壳的 $[651\ 3/2]$ 和 $[642\ 5/2]$ 态,因此对建立在高 $j$ 侵入态上的超形变转动带,可以用单 $j$ 粒子-转子模型来描述. 本文的结论同文献[6]是一致的.

(2) 用粒子-转子模型计算的能谱和跃迁几率是收敛的. 随着耦合单粒子态的增多,能量和跃迁几率趋于一确定值. 实际计算中只需包括费米面附近几条单粒子轨道即可.

(3) 由理论值和实验值的比较,我们认为<sup>163</sup>Lu  $\pi[660\ 1/2]$ 带四极形变为 $\epsilon_2 = 0.390$ , 三轴形变 $\gamma = 18^\circ$ 是三轴超形变带. 而对<sup>165</sup>Lu 和<sup>167</sup>Lu  $\pi[660\ 1/2]$ 带,尚缺乏跃迁几率的实验数据,由能谱理论与实验的符合,我们倾向于它也是三轴超形变带,它们的形变参数 $(\epsilon_2, \gamma)$ 分别为 $(0.389, 15^\circ)$ 和 $(0.360, 15^\circ)$ .

(4) 为了确认三轴超形变带,在实验上除能谱测量外,还应进行跃迁几率的测量,观测其 signature 伙伴带以及它们可能的跃迁.

## 参 考 文 献

- [1] Schmitz W, Yang C X, Hubel H et al. Nucl. Phys., 1992, **A539**(1):112—136
- [2] Schnack-Petersen H, Bengtsson R, Bark R A et al. Nucl. Phys., 1995, **A594**(2):175—202
- [3] Wu X G, Yang C X, Zheng H et al. Chin. Phys. Lett., 1997, **14**(1):17—19
- [4] Hamamoto I. Evidence for triaxial shape in yrast spectroscopy. Lund-Mph-88 / 16
- [5] Schmitz W, Hubel H, Yang C X et al. Phys. Lett., 1993, **B303**(3, 4):230—235
- [6] Xing Zheng, Wang Zixing, Chen Xingqu. High Energy Phys. and Nucl. Phys. (in Chinese), 1998, **22**(6): 545—549  
(邢正,王子兴,陈星萁. 高能物理与核物理, 1998, **22**(6): 545—549)
- [7] Larsson S E, Leander G, Ragnarsson I. Nucl. Phys., 1978, **A307**(2):189—223
- [8] Bengtsson T, Ragnarsson I. Nucl. Phys., 1985, **A436**(1):14—82
- [9] Xing Zheng, Chen Xingqu, Xu Shuwei. High Energy Phys. and Nucl. Phys. 1996, **20**(1):93—100

## Influence of Configuration Admixtures on Superdeformed Triaxial Bands \*

Xing Zheng<sup>1, 2</sup> Wang Zixing<sup>2</sup> Chen Xingqu<sup>1, 2</sup> Xu Jinzhang<sup>1</sup>

1 (*Department of Modern Physics, Lanzhou University, Lanzhou 730000*)

2 (*Institute of Nuclear Research, The Chinese Academy of Sciences, Shanghai 201800*)

**Abstract** A detailed analysis of superdeformed triaxial bands is made with the particle-rotor model. The influence of configuration admixtures between different  $j$  subshells on such systems is investigated. In order to identify the superdeformed triaxial bands both the energy spectra and electromagnetic transition probabilities should be fitted with the experimental data simultaneously.

**Key words** nuclear structure, superdeformation, triaxial deformation, configuration admixtures

---

Received 17 November 1997

\* Supported by National Natural Science Foundation of China (19575025) and by China Nuclear Industry Science Foundation (Y7197AY103)

Corresponding author: Xu Jinzhang